

# การทดลองเสมือนเพื่อประเมินชีพจรการชนสำหรับคุณค่าทางด้านการชน

## ของยานยนต์โดยการวิเคราะห์ไฟฟ้าในตัวอย่างแบบไม่เชิงเส้น

### Virtual Experiment for Assessing Crash Pulse in Automobile

#### Crashworthiness via Nonlinear Finite Element Analysis

ทวีภัทร์ บูรณธิติ

สาขาวิชาเทคโนโลยีวัสดุ คณะพลังงานสิ่งแวดล้อมและวัสดุ

มหาวิทยาลัยเทคโนโลยีพระจอมเกล้าธนบุรี กรุงเทพฯ 10140

E-mail: thaweepat.bur@kmutt.ac.th

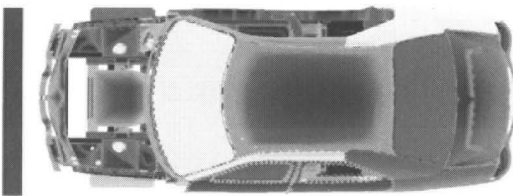
ปัจจุบันประเทศไทยเป็นประเทศที่มีการขยายตัวของอุตสาหกรรมยานยนต์เป็นอย่างมาก โดยยานยนต์หนึ่งมีคุณค่าหลายด้าน เช่น ทางด้านความสวยงามเสริมฐานะ (Status) ทางด้านสมรรถนะ (Performance) ทางด้านการประหยัดน้ำมัน (Fuel Efficiency) และทางด้านความปลอดภัย (Safety) โดยเฉพาะจากอุบัติเหตุการชน (Crash Accident) บทความนี้จะเน้นไปที่คุณค่าทางด้านการชน (Crashworthiness) ของยานยนต์ประเภทหนึ่ง

คือเหตุที่ว่าในปัจจุบันนี้รถยนต์ มีสมรรถนะสูงสามารถขับเคลื่อนได้ด้วยความเร็วสูง ประกอบกับปัจจัยแวดล้อมต่างๆ ที่มีผลบั่นทอนความสามารถในการควบคุมยานยนต์นั้น ทำให้อาจเกิดอุบัติเหตุรถชนขึ้นโดยไม่คาดหมาย ซึ่งบ่อยครั้งที่ความเสียหายนั้นจะรวมไปถึงการบาดเจ็บ และการสูญเสียชีวิตของผู้โดยสารอันประเมินค่าไม่ได้ ดังนั้นจึงมีความจำเป็นต้องทำการศึกษาโครงสร้างของยานยนต์ ว่ามีความสามารถในการป้องกันผู้โดยสารเพียงใดเมื่อเกิดอุบัติเหตุรถชนขึ้นทั้งนี้สามารถเห็นด้วยว่า ได้ในประเทศไทยที่พัฒนาแล้ว ว่าได้มีการกำหนดแนวทางความปลอดภัย เพื่อคุ้มครองผู้บริโภคแต่เนื่องด้วยการประเมินความปลอดภัย ของผู้โดยสารจากสภาพการชน เป็นการทดสอบแบบทำลาย (Destructive Test หรือ DT)

และการทดลองการชนของรถยนต์ แต่ล่าครั้งมีค่าใช้จ่ายที่สูงมาก ซึ่งถือได้ว่าเป็นภาระหนักแต่ก่อนข้างตอนธรรมอันหนึ่งแก่ทางผู้ผลิต เพื่อให้ภาคอุตสาหกรรมยังคงไว้ซึ่งความสามารถในการแข่งขัน จึงมีความจำเป็นในการนำเอาเทคโนโลยีการทดลองเสมือน (Virtual Experiment) ด้วยวิธีไฟฟ้าในตัวอย่างแบบไม่เชิงเส้น (Nonlinear Finite Element Method) เข้ามาใช้เพื่อทดสอบความสามารถของยานยนต์แต่ละแบบ เพื่อลดค่าใช้จ่ายให้ต่ำ และเพื่อเพิ่มศักยภาพในการแข่งขัน ของอุตสาหกรรมภายในประเทศไทย และความปลอดภัยของผู้บริโภคควบคู่กันไป

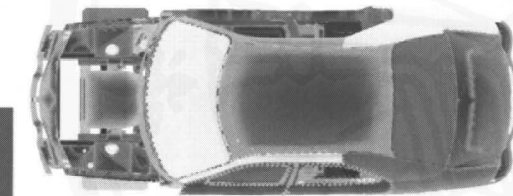
#### 1. การชนของยานยนต์ (Automotive Crash)

การชนของยานยนต์โดยทั่วไปนั้น อาจสามารถทำการแบ่งเป็นประเภทใหญ่ๆ ได้ 3 ประเภท ดังนี้ (1) การชนด้านหน้าแบบเต็มหน้ารถ (Full Frontal Crash) แสดงในรูปที่ 1, (2) การชนด้านหน้าแบบไม่เต็มหน้ารถ (Offset Frontal Crash) แสดงในรูปที่ 2 ซึ่งแบบไม่เต็มหน้ารถนี้พบว่าสร้างความเสียหายให้กับรถยนต์ส่วนใหญ่มากกว่า (ข้อมูลจาก US Department of Transportation [1] และ [2]) และ (3) การชนด้านข้างของรถยนต์ (Side Crash)



รูปที่ 1 ตัวอย่างการชนด้านหน้าแบบเต็มหน้ารถ (Full Frontal Crash)

การประเมินการยอมรับได้ เนื่องจากการชนโดยทางการในอเมริกานั้น จะทำการประเมินว่ามีความน่าจะเป็นมากเพียงใดที่จะก่อให้เกิดการบาดเจ็บอย่างรุนแรง ต่อตัวผู้ทดสอบ (Dummy) แทนผู้โดยสารจริง สำหรับการชนด้านหน้าแบบเต็ม ได้กำหนดความเร็วมาตรฐานในการวิเคราะห์อยู่ที่ 35 ไมล์ต่อชั่วโมงหรือ ประมาณ 55 กิโลเมตรต่อชั่วโมง



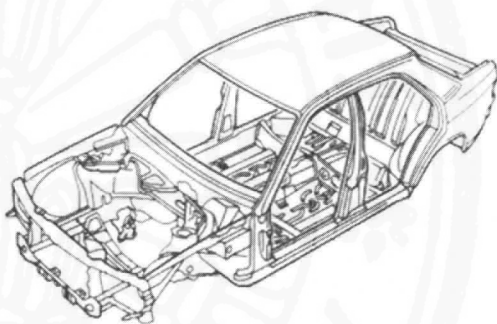
รูปที่ 2 ตัวอย่างการชนด้านหน้าแบบไม่เต็มหน้ารถ (Offset Frontal Crash)

นอกจากนี้ยังมีสถานการณ์อุบัติเหตุที่สำคัญซึ่งเกิดจากการพลิกคว่ำ (Roll Over) ที่มักเกิดขึ้นกับรถยนต์ขนาดใหญ่ เช่น รถชนิดแบบ Sport Utility Vehicle (SUV) ที่เป็นข่าวสำคัญระหว่างประมาณปี คศ. 2000-2005 เป็นต้น ซึ่งในการวิเคราะห์ชนิดนี้มีความจำเป็นต้องนำเอาถูกภัยความน่าจะเป็น (Probability) เข้ามาวิเคราะห์ด้วย เนื่องจากมีสถานการณ์และเงื่อนไขข้อมูล (Boundary Conditions) เกี่ยวข้องเป็นจำนวนมาก ดังนั้นในการทดสอบโดยใช้สถานการณ์จริงมีความจำเป็นต้องทำการทดลองหลายครั้ง ซึ่งในขณะนี้ยังไม่มีมาตรฐานที่ชัดเจนและเป็นที่ยอมรับสำหรับการทดลองประเภทนี้

## 2. การทดสอบการชน (Crash Test)

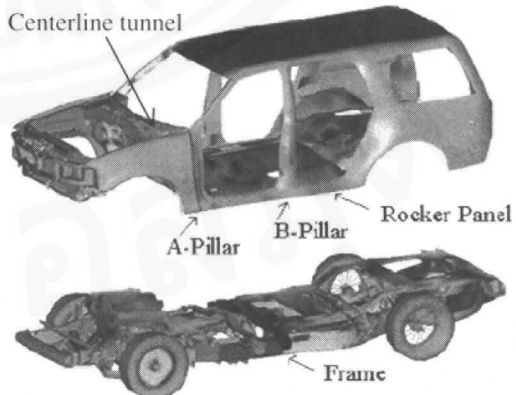
ในการทดสอบการชน มักจะใช้วัดค่าความเร่ง (Acceleration) กับเวลาของว่างการชน เป็นตัวแปรในการแสดงถึงความเฉพาะของ แต่ละการชน (Crash Characteristics) เปรียบเทียบกันตามมือชื่อของแต่ละบุคคล ในการซีอีพี [3] ซึ่งทำให้เรียกปริมาณนี้ว่า ชีพจรการชน (Crash Pulse) หรือ ลายมือชื่อการชน (Crash Signature)

โดยทั่วไปแล้วโครงสร้างของยานยนต์มีอยู่ 2 ชนิด คือ (1) ตัวถังแบบชิ้นเดียว (Unitized Body) ดังรูปที่ 3 ไม่มีโครงรถแยกต่างหาก ตัวถังมักทำจากโลหะแผ่นปั๊มขึ้นรูป แล้วนำมาเชื่อมเข้าด้วยกัน มักพบในยานยนต์ขนาดเล็กถึงกลาง



รูปที่ 3 ตัวถังแบบชิ้นเดียว (จาก [4])

(2) ตัวถังบนโครงรถ (Body on Frame) ดังรูปที่ 4 ตัวโครงรถทำจากห่อหน้าตัดต่างๆ เช่นเข้าด้วยกัน นักพนในยานยนต์ขนาดใหญ่ หรือ รถบรรทุก



รูปที่ 4 ตัวถังบนโครงรถ (จาก [3])

ในการวิเคราะห์การชนนั้น จะมีการวางแผนผ่าน Sensor ที่จุดสำคัญหลายจุด เช่น พวงมาลัย (Steering Wheel) ช่องเส้นกล่องในส่วนของผู้โดยสาร (Centerline Tunnel in Passenger Compartment) รางโครงด้านซ้ายและด้านขวาบริเวณข้างหน้า (Front Left/Right Frame Rails) ชิ้นส่วน Rockers ทั้งด้านซ้ายและขวาที่เก็น A (A-pillar) และที่เก็น B (B-pillar) ดังแสดงในรูปที่ 4 เป็นต้น

### 3. การจำลองสถานการณ์การชน (Crash Simulation)

การสร้างแบบจำลอง เพื่อการทดสอบสมมุตินี้ จำเป็นต้องเริ่มจากการสร้างแบบจำลอง โดยใช้โปรแกรมคอมพิวเตอร์ประเภท Computer-Aided Design (CAD) เนื่องจากความซับซ้อนของรูปแบบของแต่ละชิ้นส่วน และนอกจาก นี้รายละเอียดของแต่ละชิ้นส่วน โครงสร้างก็มีจำนวนมาก ดังจะเห็นได้จากตัวอย่างของแบบจำลอง สำหรับรถชนตั้งส่วนบุคคลแบบกระหัตต์ (Compact Car) ในรูปที่ 1 โดยในการสร้างแบบจำลองเพื่อการวิเคราะห์การชนนี้ ไม่มีความจำเป็นต้องให้มีความละเอียด และแม่นยำสูงมากเหมือนกับ แบบจำลองที่จะนำไปประกอบแบบสร้างแม่พิมพ์ขึ้นรูปทำให้ ชิ้นส่วน หรือ โครงสร้างบางชิ้นดีก์สามารถสร้างให้เป็นรูปทรงเรขาคณิต อ่าย่าง่าย เข่น เครื่องยนต์เป็นรูปกล่องสี่เหลี่ยมเป็นต้น แต่จำเป็นต้องให้ความสำคัญกับชิ้นส่วน โครงสร้างมากเป็นพิเศษ เนื่องจากเป็นการสร้างแบบจำลองเพื่อการวิเคราะห์ปัญหาทางด้านโครงสร้าง

การสร้างแบบจำลองการชนของรถยนต์นั้น ถือได้ว่าเป็นงานที่ท้าทายอันหนึ่ง เนื่องจากมีรายละเอียดที่เกี่ยวข้องจำนวนมาก ดังเห็นได้จากงานของ Belytschko and Mish [5] ซึ่งจัดประเภทการแก้ปัญหาชนิดนี้อยู่ในระดับที่มีความยากมากในการสร้างแบบจำลอง โดยการพิจารณาจาก ความเรียบ (Smoothness) และเสถียรภาพ (Stability) ของผลลัพธ์ (Solution) ความละเอียด (Resolution) ที่ต้องการ ความไม่แน่นอนของการῆรทำ (Loading Uncertainty) เงื่อนไขค่าของเขต (Boundary

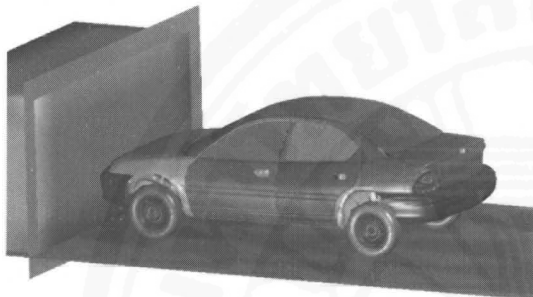
Conditions) เงื่อนไขค่าเริ่มต้น (Initial Conditions) และสมการส่วนประกอบของวัสดุ (Material Constitutive Equation) ที่ขึ้นไม่สมบูรณ์

การสร้างแบบจำลองไฟฟ้าในตัวอิเล็กทรอนิกส์สำหรับการชนซึ่งตัวระบบเป็นแบบไม่เชิงเส้นอย่างมากนั้น ตัวระบบที่ใช้ในการคำนวณที่เป็นที่ยอมรับในขณะนี้ คือ วิธีแบบชั้ดแจ้ง (Explicit Scheme) เนื่องจากตัวปัญหามีลักษณะพลวัต (Dynamics) มาก ส่วนระบบที่ใช้แบบปริยา (Implicit Scheme) นั้นจะเหมาะสมกับระบบที่มีลักษณะสมมุติ (Quasi-static) มากกว่า และโดยส่วนใหญ่แล้วจะทำให้ต้นทุนในการคำนวณมีค่าสูงมาก ในลักษณะการเพิ่มขึ้นแบบกำลังสอง (Quadratic) กับขนาดของแบบจำลอง ในขณะที่วิธีแบบชั้ดแจ้ง (Explicit Scheme) จะมีการเพิ่มต้นทุนการคำนวณเป็นแบบเชิงเส้นที่มีความเหมาะสมกว่า [6]

ในการสร้างแบบจำลองโครงสร้างของ รถยนต์นั้น ชนิดของอิเล็กทรอนิกส์แบบเปลือก (Shell Element) ซึ่งเป็นอิเล็กทรอนิกส์โครงสร้าง (Structural Element) ที่เป็นที่ยอมรับอย่างกว้างขวางในขณะนี้ คือ รูปแบบของ Belytschko *et al.* [7] ที่มีสมการรูปร่างแบบเชิงเส้น (Linear Shape Function) โดยใช้การอินทิเกรทหนึ่งจุด (One-Point Integration) ร่วมกับการควบคุมที่เรียกว่า “Hourglass Control” ตัวสมการของวัสดุจะเป็นแบบอิลาสโตพลาสติก (Elasto-Plastic) ที่เปลี่ยนรูปแบบ Isotropic Hardening แบบจำลองนี้ยังได้รับการยอมรับอย่างมาก เนื่องจากความง่ายของตัวแบบจำลอง ทำให้ลดปัญหาทางด้านเสถียรภาพของการคำนวณ (Computational Stability)

สำหรับปัญหาการกระแทกระหว่างวัสดุจะเป็นต้องมีการใช้อิเล็กทรอนิกส์ผิวน้ำร่วม (Interface Element) เพื่อให้การวิเคราะห์การกระแทกระหว่างกันเป็นไปได้ [6] โดยอาจแบ่งออกเป็น 2 ประเภทหลัก คือ (1) การชนของวัสดุที่เปลี่ยนรูปได้ (Deformable Body) กับวัสดุแข็ง (Rigid Body) ซึ่งจะกำหนดให้เป็น Slave Element และ Master Element ตามลำดับ เช่น การชนของรถยนต์กับกำแพง เป็นต้น และ (2) การชนระหว่างวัสดุที่เปลี่ยนรูปได้ เช่น การ

ชนกันของรถยนต์ 2 คัน เป็นต้น การสร้างแบบจำลองด้านการกระแทกนั้นขึ้นแบ่งออกเป็น (1) Soft Contact และ (2) Hard Contact โดย Soft Contact มีปัญหาทางด้านการคำนวณที่น้อยกว่า แต่ความแม่นยำของการวิเคราะห์ที่ขึ้นอยู่กับตัวแปรลงโทษ (Penalty Parameter) เป็นอย่างมาก สำหรับ Hard Contact นั้น อาจจะทำให้ปัญหามีลักษณะไม่เชิงเส้นสูงมากขึ้น



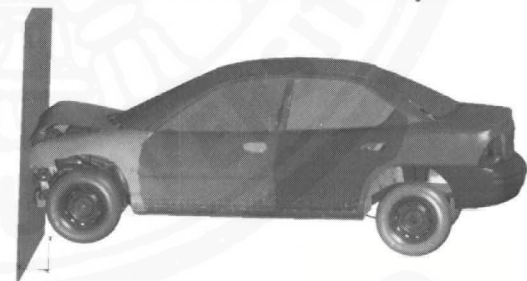
รูปที่ 5. การจำลองสถานการณ์การชนเริ่มต้น

สำหรับภาระเริ่มต้นของการจำลองสถานการณ์การชนของบทความนี้แสดงในรูปที่ 5 เนื่องจากการสร้างแบบจำลองการชนเป็นระบบที่มีขนาดใหญ่ ดังนั้นจึงมีการลดรายละเอียด และขนาดของแบบจำลองให้ง่ายขึ้น (Model Simplification) โดยรูปแบบจำลองนี้มาจากการออกแบบตัวรุ่น Neon ที่มีขนาดโดยประมาณ  $4390 \times 1715 \times 1421$  มิลลิเมตร ซึ่งนิยมใช้เป็นตัวเปรียบเทียบ (Benchmark) กับเวลาในการคำนวณในระดับสากล การจำลองสถานการณ์นี้ใช้วิธีการวิเคราะห์แบบชัดแจ้ง (Explicit) เนื่องจากมีปัญหาทางด้านการรู้เข้าข้อย โดยโปรแกรม VPG [8] และ LS-DYNA [9] เนื่องจากในระบบนี้ชิ้นส่วนจำนวนมาก จึงไม่สามารถแสดงออกมาให้เห็นแต่ละชิ้นส่วนได้ชัดเจน ต่อไปนี้จึงเป็นภาพรวมของแบบจำลอง ความเร็วเริ่มต้นของรถยนต์คิดที่ 15.75 เมตรต่อวินาที หรือ  $56.7 \text{ กิโลเมตรต่อชั่วโมง}$  วิเคราะห์เฉพาะช่วง 30 มิลลิวินาทีแรกของการชน ชิ้นส่วนโครงสร้างส่วนใหญ่ใช้อลิเมนต์แบบเปลือก (Shell) ชิ้นส่วนแต่ละชิ้นยึดติดกันด้วยอลิเมนต์เชื่อมแบบจุด (Spot Weld Element) ทั้งแบบจำลองมี 324 ชิ้นส่วน  $291,206$  โหนด และ  $535,070$  อลิเมนต์ สำหรับการแสดงผลให้เก็บข้อมูลทุก  $0.05$  มิลลิวินาที

สมบัติของแบบจำลองวัสดุที่ใช้ ประกอบไปด้วย พฤติกรรมสภาพพลาสติก (Plasticity) อย่างง่ายที่แสดงเส้นการไหล (Flow Curve) แบบเส้นตรงสองเส้น (Bilinear Material หรือ Piecewise Linear Plasticity) สำหรับวัสดุที่มีสมบัติเชิงยุ่งจะใช้กฎของhook (Hooke's law) วัสดุยางที่เกือบเป็นอัตรา (Nearly Incompressible) จะใช้แบบจำลองของ Blatz-Ko ที่จำกัดค่าสัดส่วนปัวซอง (Poisson's ratio) ไว้ที่  $0.463$  นอกจากนี้ยังใช้แบบจำลองวัสดุประทรวงผึ้ง (Honeycomb) หรือแบบโฟม วัสดุที่มีลักษณะเป็นสปริง (Spring) และตัวหน่วง (Damper) ที่ต้องกันแบบที่มีระดับความเป็นอิสระ (Degree of Freedom) เพียง 1 ตัวแปร

#### 4. ผลการวิเคราะห์ (Analysis Results)

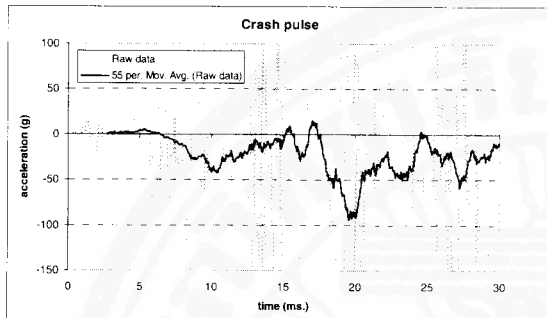
แบบจำลองสถานการณ์การชน ดังที่กล่าวมาแล้วนี้ใช้เวลาในการคำนวณประมาณ  $20$  ชั่วโมงด้วยตัวประมวลผล Intel Xeon 3.20 GHz ที่มี RAM  $1 \text{ GB}$  ในเบื้องต้นสามารถพิจารณาผลการวิเคราะห์ ในระดับมหภาค (Macro Scale) เพื่อให้เห็นการเปลี่ยนรูป (Deformation) ของแบบจำลองขานยนต์ที่สันใจดังแสดงในรูปที่ 6



รูปที่ 6 การเปลี่ยนรูปของแบบจำลองสถานการณ์การชน

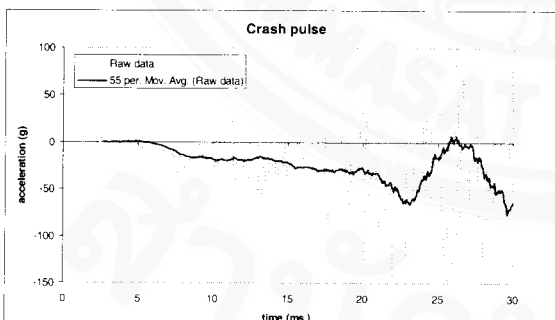
เนื่องจากการวิเคราะห์ ในระดับมหภาคโดยดูการเปลี่ยนรูปนี้ยากต่อการขยายไปสู่ การวิเคราะห์เชิงปริมาณ (Quantitative Analysis) ดังนั้นชี้พิจารณา (Crash Pulse) จึงมีความเหมาะสมมากกว่า เพื่อให้เห็นลักษณะจำเพาะของการชนที่สันใจนี้ ได้ทำการแสดงความสัมพันธ์ของความเร่ง (หน่วยเป็น g) กับเวลาในทิศทางตามแนววนเนื่องด้วยมีจำนวนจุดในระบบจำนวนมาก ทำให้ต้องมีการ

เลือกนำเสนอจุดที่สำคัญ ซึ่งในบทความนี้ได้เลือกมา 3 จุด ซึ่งอยู่ในตำแหน่งหลักที่กล่าวมาแล้ว ในส่วนการทดสอบ การชน ดังแสดงใน รูปที่ 7 สำหรับ Centerline Tunnel in Passenger Compartment รูปที่ 8 สำหรับ Left Rocket at B-Pillar และ รูปที่ 9 สำหรับ Right Rocker at B-Pillar

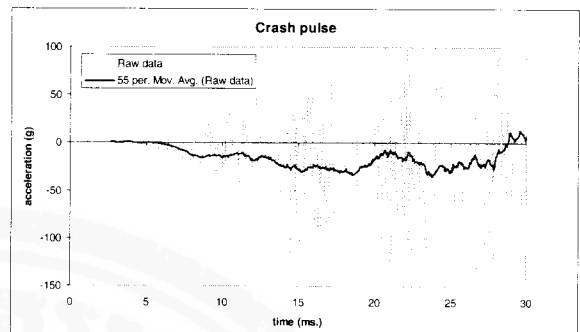


รูปที่ 7 ชีพจรการชนที่ Centerline Tunnel in Passenger Compartment

จากรูปที่ 7 จะเห็นได้ว่าบริเวณห้องโดยสารเริ่มที่จะได้รับผลกระทบของแรงกระแทกตั้งแต่ 3 มิลลิวินาทีที่เริ่มนีการชนก็เดิน ทันทีข้อมูลดิบ (Raw Data) ที่ได้จากการวิเคราะห์จะมีสัญญาณรบกวน (Noise) มาก ซึ่งจะต้องทำการกรองสัญญาณรบกวนออก ในการความนี้ได้ใช้เทคนิคค่าเฉลี่ยเคลื่อนที่ (Moving Average Technique) ที่ช่วง 55 จุด

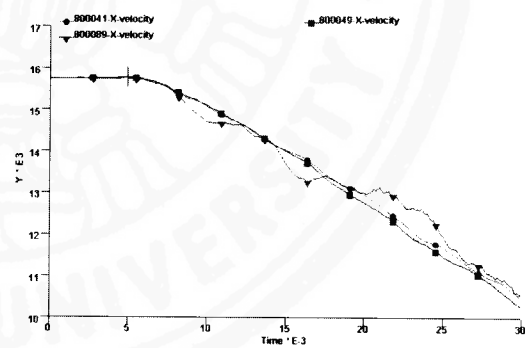


รูปที่ 8 ชีพจรการชนที่ Left Rocket at B-pillar



รูปที่ 9 ชีพจรการชนที่ Right Rocker at B-pillar

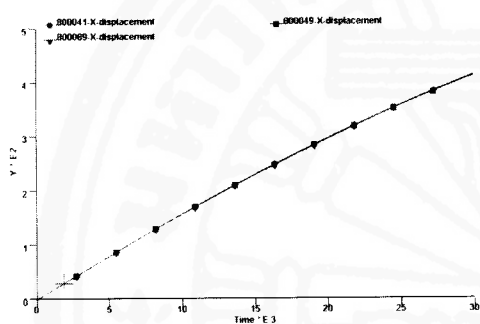
จากรูปที่ 7 ถึง 9 แสดงให้เห็นว่าบริเวณตอนท้ายของรถชนตั้งแต่ได้รับผลจากการกระแทกน้อยกว่าตอนหน้าดังเห็นได้จากขนาดของชีพจารชนที่ต่ำกว่า การนำข้อมูลเหล่านี้ไปประเมินผลกระทบต่อผู้โดยสารจำเป็นต้องทำการวิเคราะห์แยกเป็นกรณีไป เช่น สำหรับศีรษะหน้าอก เป็นต้น ตามมาตรฐาน เช่น SAE J211 (SAE Recommended Practice on the "Instrumentation for Impact Tests")



รูปที่ 10 ความเร็ว (Velocity) ของหัวสามจุดขณะ

นอกจากแสดงผลวิเคราะห์ในรูปชีพจารชนแล้ว ยังสามารถพิจารณาที่ความเร็ว (Velocity) ได้ดังแสดงใน รูปที่ 10 จากรูปแสดงความเร็วของรถชนตั้งขึ้นไม่เป็นศูนย์เนื่องจากมีแรงต้านตัดขึ้นไม่หยุดนิ่ง อย่างไรก็ตาม

เพราะว่าช่วงเวลาวิกฤต ที่มีผลกระทบต่อโครงสร้างนั้นอยู่ในช่วง 30 มิลลิวินาทีแรก ดังนั้นเวลาที่เหลือจึงไม่จำเป็นต้องนำมาวิเคราะห์ต่อ นอกจากนี้จะเห็นได้ว่ามีเห็นความแตกต่างเพียงเล็กน้อย สำหรับการพิจารณาความเร็วในทำนองเดียวกันถ้าพิจารณาที่การขัด (Displacement) ก็แนบจะไม่เห็นความแตกต่างเลย ดังแสดงใน รูปที่ 11 ในขณะที่จะเห็นความแตกต่าง ทางด้านความเร่งของทั้งสามจุดเป็นอย่างมาก



รูปที่ 11 การขัด (Displacement) ของทั้งสามจุดบนขณะ

## 5. อภิปรายและหมายเหตุสรุป (Discussions and Concluding Remarks)

การจำลองสถานการณ์การชน เป็นระบบใหญ่มาก ซึ่งมีความจำเป็น ที่จะต้องมีการลดขนาดของแบบจำลองลง ค่อนข้างมาก นิการใช้แบบจำลองสมบัติของวัสดุให้เป็นแบบเส้นตรงสองเส้น (Bilinear Material) การกำหนดให้วัสดุโครงสร้างอยู่ในสภาพวีรเมลทิน (Virgin State) และข้อกำหนดอื่นๆอีกมาก ซึ่งແเน่นอนว่ามีผลต่อความถูกต้องของการพยากรณ์ อย่างไรก็ตามข้อสมมติฐานเหล่านี้ได้รับการยอมรับในทางปฏิบัติ เพื่อให้ทราบถึงค่าความปลดออกซิเจนของสังกะสีของยานยนต์ที่สนใจ โดยที่มีค่าใช้จ่ายทางด้านการสร้างและการวิเคราะห์แบบจำลองไม่มากจนเกินไป ซึ่งในอนาคตเมื่อคอมพิวเตอร์มีความเร็วมากขึ้น การออกแบบยานยนต์จะมีการรวมศูนย์การออกแบบแบบบูรณาการ (Integrated Design) มาจากนี้ ทำให้ลดขั้นตอนการแปลงข้อมูล เมื่อถึงตอนนั้นแบบจำลอง

วิเคราะห์คุณค่าทางด้านการชน (Crashworthiness) ก็จะมีความสมบูรณ์มากขึ้น

ทั้งนี้เป็นที่ทราบกันโดยทั่วไปว่า โครงสร้างของรถยนต์ส่วนใหญ่ผลิตขึ้นมาจากการปั๊มเข็มรูป (Stamping) ของงานโลหะแผ่น เช่น การขีบขูปของซึ่มล้อ (Wheelhouse) ของรถยนต์ค่าย Ford [11] เป็นต้น ดังนั้น การสร้างแบบจำลอง เพื่อการทดสอบสมรรถนะในการทดสอบการชน และการขีบขูปชิ้นงานในกระบวนการผลิตจึงจำเป็นต้องมีการเชื่อมโยงถึงกันที่ดี เช่น ในงานของ Huh et al. [12,13] และ Lee et al. [14] เป็นต้น แต่ในทางปฏิบัตินั้นเป็นไปได้ค่อนข้างยาก เนื่องจากโครงสร้างยานยนต์ประกอบไปด้วยชิ้นส่วนจำนวนมากที่ผ่านการปั๊มเข็มรูป

การพิสูจน์แบบจำลอง (Model Validation) ตามแบบของ Buranathiti et al. [10] ในการวิเคราะห์ลักษณะนี้ ทำได้ค่อนข้างยาก เนื่องจากต้นทุนการทดสอบจริงแต่ละครั้งสูงมาก ดังนั้นจึงขอการอุปมา (Induction) เป็นลำดับว่า การชนนั้นคล้ายกับกระบวนการปั๊มเข็มรูปโลหะแผ่น (Sheet Metal Stamping) ซึ่งเราใช้เทคโนโลยีแบบจำลอง ที่สามารถพยากรณ์การปั๊มเข็มรูปโลหะแผ่นได้อย่างถูกต้องแล้ว ย่อมหมายความว่าการพยากรณ์การชนย่อมมีค่าเข้าใกล้ความเป็นจริงมากด้วย อย่างไรก็ตามการกรองสัญญาณรุนแรงโดยวิธีต่างๆ เช่น วิธีค่าเฉลี่ยเคลื่อนที่ เป็นต้น ที่ยังคงมีความสำคัญอยู่มาก

การนำเอาเทคโนโลยี ทางวิธี ไฟไนต์เอลิเมนต์ (Finite Element Method) มาใช้ในการจำลองสถานการณ์การชนมีผลดีต่อทั้งผู้ผลิตและผู้บริโภค นอกจากจะช่วยให้ผู้บริโภค มีความมั่นใจมากขึ้นแล้ว ยังเป็นการเร่งให้ผู้ผลิตรถยนต์ทำการออกแบบที่ดีขึ้น เนื่องจากสามารถวิเคราะห์การชนควบคู่ไปในขั้นตอนการออกแบบได้ โดยที่เสียค่าใช้จ่ายในการออกแบบและวิเคราะห์น้อยลง ทำให้การทดสอบกับตัวรถจริงอาจจะไม่ต้องทำในทุกกรณี หรือลดจำนวนลง ถึงแม้ว่าการสรุปออกแบบเป็นดัชนีชี้วัด (Key Performance Index, KPI) จะทำได้ยาก แต่การทดสอบสมรรถนะนี้สามารถแสดงแนวโน้มเชิงคุณภาพ (Qualitative

Trend) ว่า โครงการสร้างหนึ่งดีกว่าหรือหนึ่งอ่อนกว่าโครงการสร้างอีกแบบหนึ่งได้

## 6. กิตติกรรมประกาศ (Acknowledgement)

ขอขอบคุณ Engineering Technology Associates Inc. (ETA) จาก USA สำหรับการสนับสนุนโปรแกรม VPG และ LS-DYNA และขอขอบคุณทุนวิจัย มหาวิทยาลัยมหิดล สำหรับการสนับสนุนค่าใช้จ่ายบางส่วนของงานวิจัยนี้

## 7. เอกสารอ้างอิง (Reference)

- [1] <http://www.safercar.gov/cars/testing/ncap/Info.htm#iq9> [March 11, 2007]
- [2] Mizuno, K., Wani, K., and Yonezawa, H., Vehicle Crashworthiness in Full and Offset Frontal Impact Tests, JSAE Review, Vol. 24; pp. 173-181, 2003.
- [3] Huang, M., Vehicle Crash Mechanics, CRC Press, Boca Raton, 481p, 2002.
- [4] <http://www.marcotraverso.it/spaceframe/images/1/1984-190.jpg> [March 11, 2007]
- [5] Belytschko, T., and Mish, K., Computability in Non-linear Solid Mechanics, International Journal for Numerical Methods in Engineering, Vol. 52; pp. 3-21, 2001.
- [6] Belytschko, T., Liu, W.K., and Moran, B., Nonlinear Finite Elements for Continua and Structures, Wiley, 2000.
- [7] Belytschko, T., Lin, J.I., and Tsai, C.S., Explicit Algorithms for One Point Quadrature Shell Element, Computational Methods in Applied Mechanics and Engineering, Vol. 42; pp. 225-251, 1984.
- [8] ETA, VPG User's Manual Version 3.1, 2006.
- [9] LSTC, LS-DYNA User's Manual Version 971, 2006.
- [10] Buranathiti, T., Cao, J. Chen, W. Baghdasaryan, L., and Xia, Z.C., Approaches for Model Validation: Methodology and Illustration on a Sheet Metal Flanging Process. ASME Journal of Manufacturing Science and Engineering, Vol. 128; pp. 588-597, 2006.
- [11] Buranathiti, T., Cao, J., Xia, Z.C., and Chen, W., Probabilistic Design in a Sheet Metal Stamping Process under Failure Analysis, The 6th International Conference and Workshop on Numerical Simulation of 3D Sheet Forming Processes NUMISHEET2005, Detroit, Michigan, 2005.
- [12] Huh, H., Kim, K.P., Kim, S.H., Song, J.H., Kim, H.S., and Hong, S.K., Crashworthiness Assessment of Front Side Members in an Auto-body Considering the Fabrication Histories, International Journal of Mechanical Sciences, Vol. 45; pp. 1645-1660, 2003.
- [13] Huh, H., Song, J-H, Kim, K-P, and Kim, H-S., Crashworthiness Assessment of Auto-body Members Considering the Fabrication Histories, NUMISHEET 2005, Detroit, MI, August 15-19, 2005.
- [14] Lee, S.-H., Han, C.-S., Oh, S.-I., and Wriggers, P., Comparative Crash Simulations Incorporating the Results of Sheet Forming Analyses, Engineering Computations, Vol. 18; pp. 744-758, 2001.